

3次元渦系の相互作用

電機大理工 福湯章夫 (Akio Fukuyu)

1. 序

3次元 Euler 方程式の解は有限時間内に blow up するのか？ この問題は流体力学の数学的理論で未解決な最も基本的な問題の一つである。2次元の Euler 方程式の場合、初期データが滑らかならばその解はいつまでも滑らかであることが知られている。最近、Beale-Kato-Majda⁽¹⁾によると 3次元の Euler 方程式の解の正則性と渦度の関係が調べられ、渦度が流れの場の $\|T\|_{L^3}$ 所で有界ならば解も正則であることが示された。言い換えれば、仮に blow up が起つたとすれば流れの場の渦度の最大値ノルムが無限大にならなければならぬ。3次元流では2次元流と違って渦の stretching の起る所で、それに伴うて渦度の最大値ノルムは増大するはずであるが、有限時間内に無限大の stretching (局所的に) が起きるところはあまり多くない。本論文の目的は渦系モデルを使ってそのような stretching $\alpha \times \text{カースム}$ を検討することである。

§. 湧の stretching $\alpha \times \text{カニズム}$ (湧糸モデルによる考察)
非粘性流では、湧度はその点での速度場によって運ばれる。
速度場は非回転部分を除くと湧度分布から

$$u(r) = -\frac{1}{4\pi} \int \frac{(r-r') \times \omega(r')}{|r-r'|^3} dr' \quad (1)$$

で与えられる。ここでは簡単のために、湧度はすべて有限の太さのいくつかの渦管に集中しているものとする。渦管の断面の径が渦管の曲率半径や渦管の相対距離に比べて充分小さいとすれば、渦管は循環が一定の渦糸で近似できる。このとき (1) は

$$u(r) = -\frac{1}{4\pi} \sum_{i=1}^N \Gamma_i \int_{\text{渦糸 } i} \frac{(r-r') \times dr'}{|r-r'|^3} \quad (2)$$

となる。ここで、 N は渦糸の総数、 Γ_i は i 番目の渦糸の循環の強さ、 dr' は各渦糸に沿って変位ベクトルである。

流れの場を渦糸の集合で置きかえたとする。流れの各点での速度は (2) で与えられるが、 r を渦糸上の点に取れば、渦糸上の点はその速度で移動するので一般に渦糸は変形する。渦糸の誘起する速度はその形に依存するので、これは非常に複雑な非線形問題である。

ところで、一本の渦糸は自分自身の誘起する速度場によつても変形する。local induction 近似⁽²⁾によれば、渦糸の

各点に誘起される速度の大きさはその点での渦系の曲率に比例し、その方向は階法線方向である。更に、この近似では渦系の stretching は起らない。したがって、渦系が“引伸ばされ”るためには遠距離力の効果を取り入れなければならぬ。

渦系の集合で与えられる非線形の流山の場で、渦系の変形に際してその循環は一定に保たれ、また、流山の全エネルギーを全ヘリシティーに保存される。渦系上の各点に誘起される速度は渦系に沿って一様ではなくて一般には stretching や contraction (負の stretching) が起るはずである。このとき、渦系の各部分が引き伸ばされる割合やその変化の時間スケールは場所によつて大きく異なるであろう。このような流れを解析するためには、いま渦系の集合の中のある一本の渦系に注目しよう。これを Γ とする。渦系 Γ 上の点 P の速度は、 Γ 自身が P に誘起する速度と Γ 以外の他の渦系の誘起する速度の重ね合わせであるが、

ある一つの渦系素片の寄与は P

からの距離の 2 乗に反比例する

ので、 P に最も近い渦系素片の

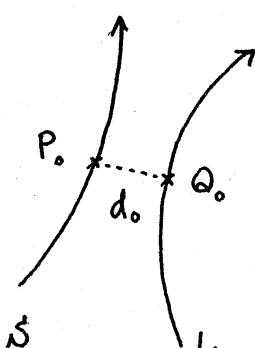


図 1.

効果が最も大きいはずである。

そこで、ある瞬間に渦系 Γ からの距離が局所的に最小の渦系

をしにし、最小の距離を与える S 、 L 上の点ととくとく P_0 , Q_0 とする（図1）。 P_0, Q_0 間の距離を d_0 とする。渦糸の集合で与えられる流山の場が充分に発達し、ある瞬間に P_0, Q_0 における渦糸 S 、 L の曲率半径 P_{P_0}, P_{Q_0} が

$$P_{P_0} \gg d_0, \quad P_{Q_0} \gg d_0. \quad (3)$$

を満し、点 P_0 の近くには (d_0 の程度の近くに) 他の渦糸が存在しないと仮定しよう。これは無理な仮定ではない。実際、 $P_{P_0} \ll d_0$ とすれば点 P_0 附近の渦糸 S の変形に S の曲率の効果が支配的で local induction 近似が適用できる。このとき P_0 は陪法線方向に運動し、渦糸 S の局所的 stretching は起らない。この陪法線方向への運動の結果 S 自身は変形するが、 P_0 が他の渦糸に近づけば、近づくにつれて P_0 附近の渦糸 S の曲率が限りなく大きくなるのでないがままで、ある瞬間には (3) のような状況が実現されるはずである。図1の渦糸 S 、 L は大域的に別々の渦糸である必要はなく、先の方でつむがけてよい。この条件が満たされたとき、以後の点 P_0 附近の渦糸 S の変形には渦糸 L の寄与が支配的で他の渦糸の影響は無視してもよいとしてある。距離 d_0 に比べて渦糸の曲率半径が大きいので、 P_0 附近の流山は 2 本の直線渦糸が距離 d_0 で置かれたときの流れで近似できるはずである。

循環の等しい2本の渦糸が平行に置かれたときは、渦糸は2本の渦糸の中心のまわりに回転し、反平行の場合は平行移動する。2本の渦糸の循環が異なるれば、その比によつて2点を中心回転する。このとき、渦糸の相対位置は変らず、変形も起らぬ。しかし、2本の直線渦糸がある有限の角度で置かれた場合、一本の渦糸が他方の渦糸上に誘起する速度が場所によって異なるので渦糸は変形し、変形の結果自己誘導速度も現わるるので、以後は非常に複雑に変形することになる。

さて、距離が d_0 の平行でない2本の直線渦糸が相互作用の結果互に変形し、時間 t_0 の後に渦糸上のどこかで

$$P_{P_1} \gg d_1, P_{\Theta_1} \gg d_1, d_1 < d_0, \sigma_1 < \sigma_0$$

を満たすような状況が実現されたとしよう(図2)。ここで、

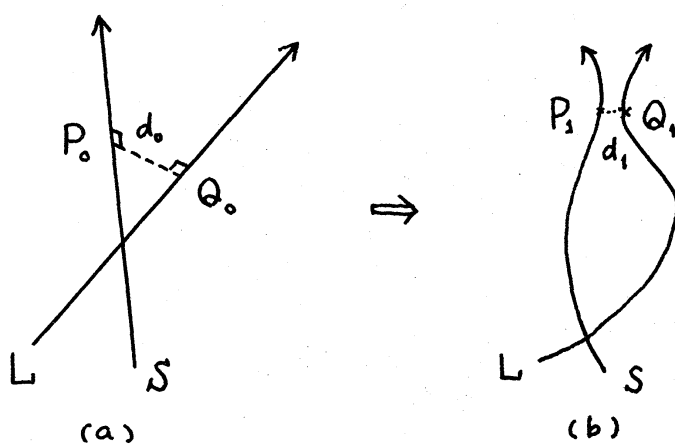


図2.

σ_0, σ_1 は点 P_0, P_1 の渦糸の断面積を表す。渦糸近似では運動方程式 (2) の断面積は直接には現われないが、渦糸が引き伸ばされるとそれに反比例して断面積のは減少する。渦糸の循環は保存されるので $\Gamma = \omega \sigma$ からこれは渦度増大の目安となる。図 2 (b) の状態が実現されたとき、点 P_1, Q_1 附近の流れは d_1 の半径では距離が d_1 の 2 倍の直線渦糸による流れで近似できることである。この状態を出発点とすると、上と同様にして時刻 T_1 後には

$$\rho_{P_2} \gg d_2, \rho_{Q_2} \gg d_2, d_2 < d_1, \sigma_2 < \sigma_1$$

を満足する点が渦糸上に現われる。渦糸の循環の保存と Euler 方程式のスケール則を使うと

$$T_1 = \left(\frac{d_1}{d_0} \right)^2 T_0, \quad d_2 = \left(\frac{d_1}{d_0} \right)^2 d_0, \quad \sigma_2 = \left(\frac{\sigma_1}{\sigma_0} \right)^2 \sigma_0$$

を得る。以後同様の過程がくり返されるとすれば、一般に

$$T_{n-1} = \left(\frac{d_1}{d_0} \right)^{2^{n-2}} T_0, \quad d_n = \left(\frac{d_1}{d_0} \right)^n d_0, \quad \sigma_n = \left(\frac{\sigma_1}{\sigma_0} \right)^n \sigma_0$$

となり、極限では

$$T = \sum_{n=0}^{\infty} T_n = \frac{d_0^2}{d_0^2 - d_1^2} T_0 < \infty, \quad \lim_{n \rightarrow \infty} \sigma_n = 0$$

が得られる。すなはち、有限時間 T の間に渦糸上のどこかに

無限に引き伸ばされた黒が現われることになる。 $\omega = \frac{P}{\rho}$ とす、
 $P = \omega r = \text{一定}$ を考慮すると渦度の最大値 ω_m は無限大
 となる。

非粘性流では全エネルギーは保存されなければならぬ。しかし、循環が一定の無限に細い渦糸による運動エネルギーは一般に無限大になる。したがって渦が引き伸ばされると結果、有限の長さの無限に細い渦糸が現われるることはないはずである。渦の stretching $a \times \alpha = \text{定数}$ についてはこの點を考慮すべきなければならない。

上で考えたような渦の stretching の一段階を一つの素過程とよぶことにしよう。このような素過程が無限にくくり重なれるといううことは、各段階で幾何学的相似を仮定していよいよになる。したがって渦糸の断面も充分早く細くならなければならぬ。これは各段階で銅管が渦糸で近似され、そのためには渦糸間の距離 d が減少するにつれて渦糸の断面の半径もそれ以上早く、あるいは少なくとも同じ割合で減少する必要があるからである。

前述の考察では最初に距離が d_0 の水平の直線渦糸を考えたが、渦糸は無限に長い直線と考える必要はない、 P_0, Q_0 附近で直線的であればよい。そこで長さが l_0 で断面積が一様の σ_0 の渦糸要素を考えよう(図3)。 a_0 は渦糸の断面の半径を

したとき (i.e. $\sigma_0 \sim \pi a_0^2$)

$$l_0 \gg d_0 \gg a_0$$

であれば渦糸近似は正しく、 P_0, Q_0 附近の渦糸の形状には渦糸素片 l_0 のみの寄与を考えればよい。

この状態から出発して最初の素過程で、 l_1, d_1, a_1 が実現したとしよう。前と同様にして

末過程まで回り返した後には

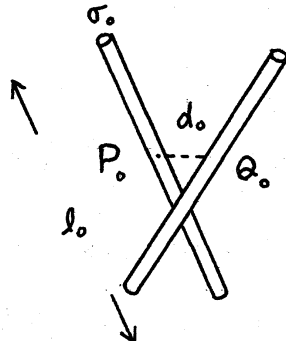


図 3

$$l_n = \left(\frac{l_1}{l_0}\right)^n l_0 = K_1^n l_0, \quad d_n = \left(\frac{d_1}{d_0}\right)^n d_0 = K_2^n d_0, \quad a_n = \left(\frac{a_1}{a_0}\right)^n a_0 = K_3^n a_0.$$

となる。*stretching* の素過程が無限回くり返すための幾何学的条件は、 $K_1 \leq K_2 \leq K_3$ であるが、ここで簡単のため K_1, K_2, K_3 がすべて等しく K であるとする。

$$l_n = K^n l_0, \quad d_n = K^n d_0, \quad a_n = K^n a_0.$$

l_n は各素過程のスケールを表すと考えられるが、各段階で (3) の条件が成り立つことから、 l_n は P_n における渦糸の曲率半径であるべきかえてよいであろう。

以上のように *stretching* の素過程をくり返すことによりそれが段階には循環かつて長さが l_n 、断面の半径が a_n の渦糸素

片が現われる。この渦糸素片の運動エネルギーに対する寄与

ε_n は

$$\varepsilon_n \sim 2\pi P l_n (\log a_n + \text{有限部分})$$

$$\text{すなはち}, l_n = K^n l_0, a_n = K^n a_0 \text{ と } \text{すなはち}$$

$$\varepsilon_n \sim 2\pi P l_0 K^n (n \log K + \text{有限部分})$$

となり、 $K < 1$ のとき $n \rightarrow \infty$ のとき $\varepsilon_n \rightarrow 0$ である。一方、インストローフォーに対する寄与 s_n は、この渦糸素片の渦度 ω_n が $\omega_n = P/\sigma_n$ のときに得られる

$$s_n \sim \omega_n^2 l_n \sigma_n = \frac{P^2 l_0}{\pi a_0^2} K^{-n}$$

すなはち、 $n \rightarrow \infty$ のとき $s_n \rightarrow \infty$ となる。すなはち、以上のよう $T_0 \times$ 力 = ズームによって、渦が引き伸ばされて有限時間内に渦度の最大速度が発散し、全エネルギーは一定に保たれ、インストローフォーが無限大になることが起り得る。

渦度が発散していきる部分の Hausdorff 次元は次のようにして計算することができる。はじめに図 2(a) の状態で P_0 と Q_0 の中点を中心として半径 R_0 の球を描く。この球の内部では渦糸 S 、これはともに直線渦糸と見なしてよい。対称性から、最初の素過程によつて stretching が起つ T_2 の l_1 のスケールの部

はえ々所で“きるはす”である(図4)。 $\chi = \tilde{\epsilon} P_1, Q_1$ および P'_1, Q'_1 の中点を中心として半径 l_1 の球をくりぬく。 $K < 1/2$ を

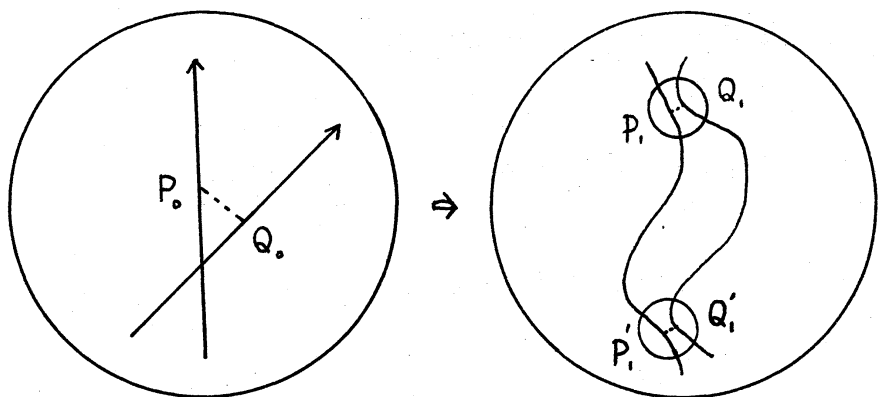


図4.

すれば、これらの中はともに最初の半径 l_0 の球の内部に含まれると考えてよいであろう。以下同様に各素過程ごとに引き伸ばしや部分をくりぬく操作をくり返せば、くりぬかれた部分の Hausdorff 次元は

$$D = \lim_{n \rightarrow \infty} \frac{\log 2^n}{\log (1/K)^n} = -\frac{\log 2}{\log K}$$

$K < 1/2$ ならば $D < 1$ である。 $\chi = 3 \tilde{\epsilon}, 1/2 < K < 1$ の場合は引き伸ばさぬことは「なし」、対称性を考慮して各素過程ごとに引き伸ばしや部分の数が2倍になるときは、これらの部分の全エネルギー - 1/2 倍する寄手は $2^n \epsilon_n$ となり、これは $K > 1/2$ のときは発散してしまう。したがって、 $K < 1/2$ の仮定は自然である。

3. 数値例

前節で考察したよ $\ddot{\text{u}}$ る渦の stretching が実際に起るかどうかを調べるため、ここでは2本の直線渦糸が相互作用によ $\ddot{\text{e}}$ て変形して行く様子を数値的に調べる。計算のスキームは(2)を差分化したもので、Chorin⁽³⁾が用いたものと同じである。すなわち、渦糸は、Lをそれぞれ N_1, N_2 個の折れ線で近似する。折れ線の結点の位置ベクトルをそれぞれ $\mathbf{l}\Gamma_j^{(i)}$ ($i=0, 1, \dots, N_i$), $\mathbf{l}\Gamma_k^{(i)}$ ($j=0, 1, \dots, N_2$)としたとき

$$\mathbf{u}(\mathbf{l}\Gamma) = -\frac{\Gamma_1}{4\pi} \sum_{k=1}^{N_1} \frac{\mathbf{a}_k^{(1)} \times \Delta \mathbf{l}\Gamma_k^{(1)}}{|\mathbf{a}_k^{(1)}|^3} - \frac{\Gamma_2}{4\pi} \sum_{k=1}^{N_2} \frac{\mathbf{a}_k^{(2)} \times \Delta \mathbf{l}\Gamma_k^{(2)}}{|\mathbf{a}_k^{(2)}|^3}$$

$$\mathbf{a}_k^{(i)} = \frac{1}{2} (\mathbf{l}\Gamma_{k+1}^{(i)} - \mathbf{l}\Gamma_k^{(i)}) - \mathbf{l}\Gamma \quad (i=1, 2)$$

$$\Delta \mathbf{l}\Gamma_k^{(i)} = \mathbf{l}\Gamma_{k+1}^{(i)} - \mathbf{l}\Gamma_k^{(i)}$$

この方法では曲線を折れ線で近似しているので、渦糸が変形し引き伸ばされるにつれて当然折れ線を細分しなければならぬ。Chorinは $|\Delta \mathbf{l}\Gamma_k^{(i)}|$ がある値以上で $\mathbf{l}\Gamma$ をたどるときこれを半分に分割する方法を取りたが、この方法ではある点で渦糸の曲率半径が $1/2$ 以下で $\mathbf{l}\Gamma$ をたどるときには折れ線で渦糸を正確に近似できない。本論文の目的は長時間にわたって渦糸の変形を追跡する子よりは、むしろ渦糸の形をできるだけ正確に求め、前節で考察したよ $\ddot{\text{u}}$ る渦の stretching の一つの素過程

と見なされた状態が現われるかどうかを調べることにあるので、折れ線の細分は以下の方法を取る。すなはち、折れ線の結点で接する線分のなす角度がある値 θ_{min} 以下になら、
 たとき、その点での渦系の曲率半径（近隣 3 点の外接円の半径）を保つようには細分し、各結点での線分のなす角度 θ が常に $\theta_{min} < \theta \leq 2\pi$ を満たすようにはすり替えてみる。実際には曲率と同時に拔率の保存も考慮した。

初期におけるス平の渦系のなす角度を ϕ_0 とし、たとき、次の 3 の場合について計算してみる。

$$\text{case 1 } \phi_0 = 45^\circ, \text{ case 2 } \phi_0 = 90^\circ, \text{ case 3 } \phi_0 = 135^\circ$$

その他のデータは次の通りである。

$$\Gamma_1 = \Gamma_2 = 1, \quad l_0 = 1, \quad d_0 = 0.1, \quad N_1 = N_2 = 20; \quad \theta_{min} = 150^\circ$$

時間発展は 1 次の Euler 法を用いた。 Δt は各時刻ごとに

$$\Delta t = d \times \min_{\substack{1 \leq k \leq N \\ (i=1,2)}} \frac{|\Delta r_k^{(i)}|}{\|\Delta u_k^{(i)}\|}$$

から決定した。ここで、 $|\Delta r_k^{(i)}|$ はその時刻ごとの k 番目の線分の長さ、 $\|\Delta u_k^{(i)}\|$ は k 番目の線分の両端に誘起される速度の絶対値、 N は線分の個数で細分のたびに増加する。 d は定数で計算には $d = 0.01$ を用いた。

図5, 図6, 図7 12 case 1, case 2, case 3 12つ目で渦系の変形の様子を示した。渦系は初期のxy平面より
 $x = 0.55$, $0 \leq y \leq 1$ の線分となる。図の各時刻によると、
左側の図は渦系のxy平面への投影図、右側はyz平面への
投影図である。また、xy平面への最初の投影図に×印は、
初期における渦系を表す。さらに、○印は初期における渦
系しがxy平面を切る点を示す。Nはその時刻での線分の数、
dは渦系とLの距離($cf. d_0 = 1$)である。case 1, 2では
 $d > d_{0.12}$ 注意しよう。すなわち、初期の2本の渦系が平行
から直角までの場合の渦系間の相対距離が離れる傾向がある
ようである。一方、case 3の場合は相対距離が急速に小さく
なる。渦のstretchingについては、case 1, 2とも中央
附近の曲率の大きい部分は初期に比べて渦は縮んでおり、
渦が引き伸ばされていけるのはその外側の比較的直線附近の部
分である。この部分はもう一箇の渦系からの距離が大きい所
 $T_0 \alpha^2$ 、case 1, 2の場合は前節で考察したstretchingの
過程と見なされる状況にはなるまい。case 3 12つ目では
ほど全体的に渦は引き伸ばされており、特に他の渦系と接
近していける部分(前節のP₁, Q₁と見なされる部分)では伸長
の割合が大きい。図8はcase 3のt = 0.158での渦系、
Lの相対位置のxy, yz, zy平面への投影図を示す。

図中の \times EP, \circ EP は渦糸 S, L 間の最小距離を示す。
 \exists は a 点を p , d , σ は

$$\rho_p = 0.112, \rho_\theta = 0.040, d = 0.0384, \sigma_p = 0.310, \sigma_\theta = 0.433$$

$$t = 0.1742$$

$$\rho_p = 0.0695, \rho_\theta = 0.0489, d = 0.0163, \sigma_p = 0.145, \sigma_\theta = 0.0904$$

は $T_d > T_d$ である。 σ は渦糸の比断面積を表す。 $t = 0.1742$ は
 $p \gg d$ と考へてよさそうであるが、渦糸の伸縮は十分
 T_d よりも大きい。

以上計算結果から前節で考察した T_d stretching の
 差異がどうか結論付けられ T_d の σ 及平行近似の渦糸の相互
 作用が渦糸 stretching に対する寄与を持つことは明らかである
 こと。

文献

- (1) Boal, J.T., Kato, T. and Majda, J. Comm. Math. Phys. 94
 (1984) 61
- (2) Arms, R.T. and Hama, F.R. Phys. Fluids 8 (1965) 553
- (3) Chorin, A.J. Comm. Math. Phys. 83 (1982) 517

